

# 円形坑道周辺の応力状態に及ぼすカップル・ストレスの影響

京都大学 正員 小林昭一，國鉄 正員 森竹淳

## 1. はじめに

岩盤を均質体と仮定した連続体力学理論に基づいた岩盤内応力をらびに変形の解析は、従来から数多く行なわれて来た。しかしながら、実在の岩盤では、例えば坑道、トンネル等を例にとってももちろん、その断面に比して岩塊の大きさが必ずしも小さいとは言えない場合も多く、均質体の仮定に基づく解析では不充份な場合も多々と考えられる。岩塊などによる二つ以上の局所的非均質性をどうように評価し、公式化するかは極めて困難な問題であり、未だ統一的な取り扱いは見られないようである。

本研究は、連続体の均質性の仮定を若干緩和して、直観的に見れば等方・均質ではあるが、対象とする構造物に比して岩塊の大きさは必ずしも小さくはない岩盤、換言すれば、構造物のスケールで見れば、岩塊の混合ないし結合体と見立てる岩盤を対象として、これにカップル・ストレス弹性理論を適用して、円形ライニングを有する坑道周辺の応力状態を解析し、これに及ぼすカップル・ストレスの影響、すなわち岩塊の寸法効果を検討したものである。

## 2. カップル・ストレス弹性理論の概要

Mindlin<sup>1)</sup>によれば、平面ひずみ状態にあるカップル・ストレス弹性体の基礎式は次のようになされる。一般の式は簡単のためにテッサー表示を行なうこととする。

### a) 異伝、回転、ひずみ、曲率の関係

曲線座標系  $x^\alpha$  ( $\alpha = 1, 2$ ) では、ひずみ  $e_{\alpha\beta}$ 、回転  $\omega_3$  および曲率  $K_{3\alpha}$  は、異伝  $u_\alpha$  を用いて次のようになされる。

$$e_{\alpha\beta} = u_{(\alpha|\beta)} = \frac{1}{2}(u_{\alpha|\beta} + u_{\beta|\alpha}) \quad (2.1)$$

$$\omega_3 = u_{[2|1]} = \frac{1}{2}(u_{2|1} - u_{1|2}) \quad (2.2)$$

$$K_{3\alpha} = \omega_3|_\alpha \quad (2.3)$$

$= K$ 、 $u_{\alpha|\beta}$  は  $u_\alpha$  の  $x^\beta$  による共変微分を、 $u_{(\alpha|\beta)}$  は  $u_{\alpha|\beta}$  はそれが  $u_{\alpha|\beta}$  の対称および逆対称部分を示す。

### b) 構成式

構成式は次のように与えられる。

$$e_{\alpha\beta} = \frac{1}{2G} [\gamma_{\alpha\beta} - \nu g_{\alpha\beta} \gamma] \quad (2.4)$$

$$K_{3\alpha} = \frac{1}{4G\ell^2} K_{33} \quad (2.5)$$

$= \gamma$  は、 $\gamma_{\alpha\beta}$  は  $\mu_{13}$  (E, \nu が  $\mu_{13}$  である Cauchy 式) から  $\gamma$  カップル・ストレスを示し、 $G$ 、 $\nu$ 、 $\ell$  はそれを示す剛性係数、Poisson 比および材斜率 ( $\gamma$  構成因子の大きさと幾何学的形状の関係係数) と、また  $g_{\alpha\beta}$  は基本計量テッサーを表わすものとする。

### c) 鋏り合式

物理力および物体カクフル力を無視すれば、鋏り合式は次のようになる。

$$\tau^{\beta\alpha}|_{\alpha} = 0 \quad (2.6)$$

$$\mu^{\alpha\beta}|_{\alpha} + \varepsilon^{3\alpha\beta}\zeta_{\alpha\beta} = 0 \quad (2.7)$$

$\Rightarrow \Rightarrow (\varepsilon^{3\alpha\beta}$  は交代テンサーである。

### d) 過合条件式

適合条件式は次のようになります。

$$\varepsilon^{3\alpha\beta}\varepsilon^{3\beta\gamma}\epsilon_{\gamma\delta}|_{\alpha\delta} = 0 \quad (2.8)$$

$$\varepsilon^{3\alpha\beta}K_{\alpha\beta} = 0 \quad (2.9)$$

$\Rightarrow$  以上の式を次で用いて表わすと、次のようになります。

$$\varepsilon^{3\alpha\beta}\varepsilon^{3\beta\delta}\zeta_{\alpha\beta}|_{\delta} - \nabla^2\zeta^r_r = 0 \quad (2.10)$$

$$\varepsilon^{3\alpha\beta}\mu_{\alpha\beta} = 0 \quad (2.11)$$

$$\mu_{\alpha\beta} = \varepsilon^{3\beta\gamma}\zeta_{\alpha\gamma}|_{\beta} + \nu\varepsilon_{3\alpha\beta}\zeta^r_r \quad (2.12)$$

$\Rightarrow \Rightarrow (\nabla^2 = \frac{1}{\sqrt{g}}\frac{\partial}{\partial x^\alpha}(\sqrt{g}g^{\alpha\beta}\frac{\partial}{\partial x^\beta})$ ,  $g = \det g_{\alpha\beta}$ ) である。  $\Rightarrow$  以上の式の 3 式,  $\lambda$  が独立である。

### e) 応力函数

応力はスカラーポテンシャル中おおむねを用いて

$$\zeta^{\beta\alpha} = \varepsilon^{3\alpha\gamma}\varepsilon^{3\beta\delta}\phi|_{\gamma\delta} + \varepsilon^{3\alpha\beta}\psi|_{\alpha} \quad (2.13)$$

$$\mu_{\alpha\beta} = \psi|_{\alpha} \quad (2.14)$$

と表わされる。すなれば、鋏り合式および適合条件式を満たすには、

$$\nabla^4\phi = 0 \quad (2.15)$$

$$(1 - \ell^2\nabla^2)\nabla^2\psi = 0 \quad (2.16)$$

$$(1 - \ell^2\nabla^2)\psi|_{\alpha} = -(2-\nu)\ell^2\varepsilon_{3\alpha\beta}\beta^{\beta\gamma}\nabla^2\phi|_{\gamma} \quad (2.17)$$

を満たさなければならぬこと分かる。 $\ell = 0$  とすれば、この関係は従来の弹性論(古典弹性論)の基本式と一致する。

平面ひずみ状態にあるカクフルストレス弾性問題の解は、場の方程式 (2.15)~(2.17) を満たされた境界条件の下で解くことによって得られる。

### 3. 一様圧縮応力場内の円筒回軸の応力解析

図-1 のように内径  $b$ , 外径  $a$  の円環が無限板に埋没されており、無限遠から一様な圧縮応力が作用しておるものと解析の対象とする。カクフルストレスの結果は、円環とその周辺基盤との相対的各材軸荷重は左左それので、円環は簡単になり古典弹性論に従うものと仮定し、その周辺基盤は中央対称荷重カクフルストレス理論に従うものと仮定する。また、この系は平面ひずみ状態にあるものとする。以下では、円環と基盤とを別

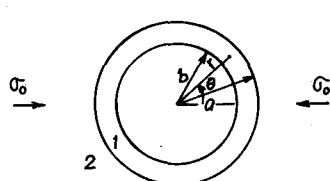


図-1

するため、それそれに因する諸量にインデックス 1 オリビスをつけることにする。

### a) 応力関数

対称条件を満す応力関数として、 $\phi_1$  は次のようになります。

$$\phi_1 = A_0 r^2 + B_0 \ln r + (A_1 r^2 + B_1 r^2 + C_1 r^2 + D_1) \cos 2\theta \quad (3.1)$$

また、無限遠 $r$  の条件

$$(\bar{\sigma}_r)_2 = \frac{G_0}{2}(1 + \cos 2\theta), \quad (\bar{\tau}_{r\theta})_2 = -\frac{G_0}{2} \sin 2\theta, \quad (3.2)$$

$\bar{\sigma}_r$  と  $\bar{\tau}_{r\theta}$  の対称性の条件を考えると、 $\phi_2$  は  $\bar{\sigma}_r$  と  $\bar{\tau}_{r\theta}$  は次のように考えられます。

$$\phi_2 = \frac{G_0}{4} r^2 (1 - \cos 2\theta) + A_2 \ln r + (B_2 r^2 + C_2) \cos 2\theta \quad (3.3)$$

$$\psi_2 = [b_2 r^2 + c_2 K_2(1/r)] \sin 2\theta \quad (3.4)$$

$= 1 = K_2(1/r)$  は 2 次の第 2 種高形ベッセル関数である。

### b) 応力成分、密度成分

応力成分および密度成分は次のように定義されます。

$$\begin{aligned} (\bar{\sigma}_r)_1 &= 2A_0 + B_0 r^2 + (-2A_1 - 6B_1 r^4 - 4D_1 r^2) \cos 2\theta \\ (\bar{\sigma}_\theta)_1 &= 2A_0 - B_0 r^2 + (2A_1 + 6B_1 r^4 + 12C_1 r^2) \cos 2\theta \\ (\bar{\tau}_{r\theta})_1 &= (\bar{\tau}_{\theta r})_1 = 2(A - 3B_1 r^4) + 3C_1 r^2 - D_1 r^2 \sin 2\theta \end{aligned} \quad \left. \right\} \quad (3.5)$$

$$E_r (\bar{u}_r)_1 = 2A_0(1 - \nu_1)r - B_0(1 + \nu_1)r^{-1} + \{2A_1(1 + \nu_1)r + 2B_1(1 + \nu_1)r^{-3} - 4C_1\nu_1 r^3 + 4D_1 r^{-1}\} \cos 2\theta \quad (3.6)$$

$$E_\theta (\bar{u}_\theta)_1 = \{2A_1(1 + \nu_1)r + 2B_1(1 + \nu_1)r^{-3} + 2(3 + \nu_1)C_1 r^3 + 2D_1(\nu_1 - 1)r^{-1}\} \sin 2\theta$$

$$\begin{aligned} (\bar{\sigma}_r)_2 &= G_0(1 + \cos 2\theta)/2 + A_2 r^2 (6B_2 r^4 + 4C_2 r^2 - 6b_2 r^4) \cos 2\theta \\ &\quad + 2c_2 l_2^{-1} r^{-1} [3l_2 r^{-1} K_0(1/l_2) + (1 + 6l_2^2 r^2) K_1(1/l_2)] \cos 2\theta \\ (\bar{\sigma}_\theta)_2 &= G_0(1 - \cos 2\theta)/2 - A_2 r^2 + (6B_2 r^4 - 6b_2 r^4) \cos 2\theta \\ &\quad + 2c_2 l_2^{-1} r^{-1} [3l_2 r^{-1} K_0(1/l_2) + (1 + 6l_2^2 r^2) K_1(1/l_2)] \cos 2\theta \\ (\bar{\tau}_{r\theta})_2 &= -(G_0/2 + 6B_2 r^4 + 2C_2 r^2 - 6b_2 r^4) \sin 2\theta \\ &\quad + c_2 l_2^{-1} r^{-1} [6l_2 r^{-1} K_0(1/l_2) + (1 + 12l_2^2 r^2) K_1(1/l_2)] \sin 2\theta \end{aligned} \quad \left. \right\} \quad (3.7)$$

$$\begin{aligned} (\bar{u}_r)_2 &= -(G_0/2 + 6B_2 r^4 + 2C_2 r^2 - 6b_2 r^4) \sin 2\theta \\ &\quad + c_2 l_2^{-2} (0 + 6l_2^2 F^2) K_0(1/l_2) + (3l_2 r^{-1} + 12l_2^2 r^{-3}) K_1(1/l_2) \sin 2\theta \\ (\bar{u}_\theta)_2 &= \{-2b_2 r^3 - c_2 l_2^{-1} [2l_2 r^{-1} K_0(1/l_2) + (1 + 4l_2^2 r^2) K_1(1/l_2)]\} \sin 2\theta \\ (\bar{u}_\theta)_2 &= \{2b_2 r^{-3} + 2c_2 l_2^{-1} [K_0(1/l_2) + 2l_2 r^{-1} K_1(1/l_2)]\} \cos 2\theta \\ 2G_2 (\bar{u}_r)_2 &= G_0 r (1 - 2\nu_2)/2 - A_2 r^{-1} + 2r^{-3} \{G_0 r^4/4 + B_2 - b_2 + 2C_2 r^2 (1 - \nu_2) - c_2 r^2 K_2(1/l_2)\} \times \cos 2\theta \end{aligned} \quad \left. \right\} \quad (3.8)$$

$$2G_2 (\bar{u}_\theta)_2 = r^{-3} \{-G_0 r/2 + 2B_2 - 2b_2 - 2C_2 r^2 (1 - \nu_2) - c_2 r^2 (1/l_2 K_1(1/l_2) + 2K_2(1/l_2))\} \times \sin 2\theta$$

$$2G_2 (\bar{w}_3)_2 = r^2 l_2^{-2}/2 \{b_2 + c_2 r^2 K_2(1/l_2)\} \sin 2\theta$$

### c) 疣界条件

疣界条件 $\bar{v} C$ ,

$$r = a \quad \bar{v}^*, \quad (\bar{\sigma}_r)_1 = (\bar{\sigma}_r)_2, \quad (\bar{\tau}_{r\theta})_1 = (\bar{\tau}_{r\theta})_2, \quad (\bar{u}_r)_2 = 0, \quad (\bar{u}_r)_1 = (\bar{u}_r)_2, \quad (\bar{u}_\theta)_1 = (\bar{u}_\theta)_2$$

$$r = b \quad \bar{v}^*, \quad (\bar{\sigma}_r)_1 = 0, \quad (\bar{\tau}_{r\theta})_1 = 0$$

以上の疣界条件と式(2.17), すなわち,  $b_2 = \delta(1 - \nu) l^2 C_2$  から, 11 個の未知係数 $K$  を得る

11元連立方程式を得る。これを解いて、たとえ、荷重は容易に求められる。なお、 $\psi_2 = 0$  とすれば、古典弾性論の解となることは言えてもうまい。また、ライエンゲンはカッフルストレス理論を適用する場合には、以上の取り扱いを更に、

$$\begin{aligned} \psi_1 &= (a_1 r^2 + b_1 r^{-2}) \sin 2\theta + \{ d_1 I_2(1/\epsilon_1) + e_2 k_2(1/\epsilon_1) \} \sin 2\theta \\ b_1 &= \delta(1-\nu) h_1^2 C_1, \quad a_1 = 2\delta(1-\nu) h_1^2 A_1 \end{aligned}$$

を追加すればよい。

#### 4. 解析結果と考察

円環およびその周辺基盤の応力ならびに変形状態は、円環と周辺基盤の弹性係数、Poisson 比ならびにカッフルストレスに関係する材料定数等の諸材料定数の比および円環剛性、すなわち  $b/a$  に影響される。ここで、特にカッフルストレスの効果に注目して解析する。円環境界上で  $\sigma_0$  の集中荷重の一例を図-2 に示す。この解析では、Poisson 比  $\nu_1 = \nu_2 = 0.2$  とする。

解析結果から次のことが明らかとなった。

- 古典弾性論 (i.e.  $b_2 = 0$ ) の時には、 $E_2/E_1$  が小さな程、また  $b/a$  が大きい程応力集中は大きくなる。
- カッフルストレス弾性論では、応力集中は  $E_2/E_1$  が  $b/a$  よりも  $b_2$  によって大きく左右される。  $b_2/b_1 = 1, \nu_2 = 0.2$  という例に图-1 では、 $b/a > 0.7$  では  $E_2/E_1$  比が増大する  $b_2$  の増加とともに応力集中は減少する。この傾向は  $b/a$  が大きい程顕著である。 $b/a \neq 0.7$  では、 $E_2/E_1$  比が増大する  $b_2$  の増大と共に応力集中はほとんど一定である。また、 $b/a < 0.7$  では、 $E_2/E_1 < 0.5$  になると  $b_2$  の増大と共に応力集中は大きくなる。以上より例から分るよう、カッフルストレスを考慮すれば、古典弾性論によるもの相当異なってくる。その他の例は省略する。

#### 参考文献

- R. D. Mindlin, Exp. Mech., 3, 1~7 (1963)

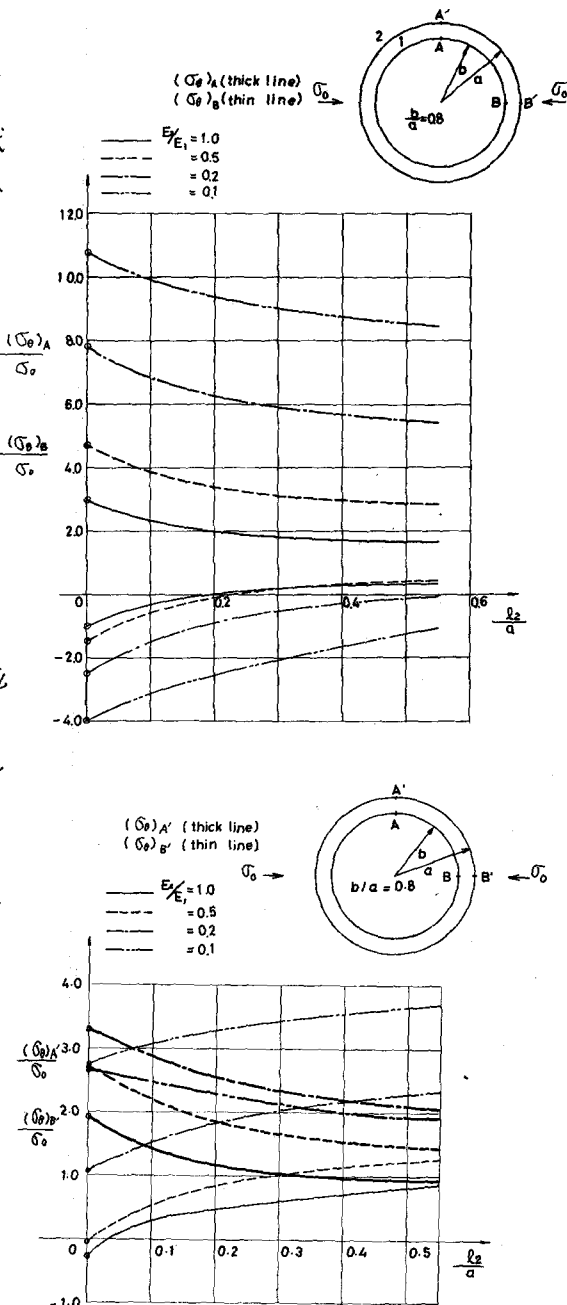


図-2

Effects of Couple Stresses on Stress Distributions  
around a Lined Circular Tunnel

Shoichi Kobayashi  
Dept. of Civil Eng., Kyoto Univ.  
Sunao Moritake  
Japanese National Railways

Although plenty of analytical works have been made in the stress distributions around underground structures, the results sometimes may lead to invalid interpretation in evaluating the real stress distributions. The main reason of such invalid interpretation of the stress distributions is due to the analytical assumption of homogeneity which does not account for the comparable size of constituents of real rock masses with that of underground structures.

It is very difficult to take the size effect of constituents, i. e. local inhomogeneity, into considerations. One reasonable approach, although not sufficient enough at present, may be to formulate the rock masses by the theory of multiphase materials. The effects of local inhomogeneity may be interpreted to some extent by the couple stress theory, the simplest one for multiphase materials.

In the present paper, the effects of local inhomogeneity, i. e. the effects of the couple stresses, of surrounding rock masses on underground structures are evaluated by use of the couple stress theory. Stresses around a lined circular tunnel are affected by the internal length of constituents of rock masses as well as the ratios of Young's modulus and Poisson's ratio of lining to the surrounding rock masses and the thickness of lining. The investigations are extended into the variations of stress concentration factors at the outer and inner edges of lining with the ratio of the internal length to the radius of the tunnel for various ratios of Young's modulus of surrounding rock masses to the lining.